

04; 09

(C) 1992

ТРАНСФОРМАЦИЯ АКСИАЛЬНО-СИММЕТРИЧНОЙ
ВОЛНОВОДНОЙ МОДЫ В ЛИНЕЙНО-ПОЛЯРИЗОВАННЫЙ
ГАУССОВ ПУЧОК ПОСРЕДСТВОМ ПЛАВНО
ИЗОГНУТОГО ЭЛЛИПТИЧЕСКОГО ВОЛНОВОДА

С.Н. Власов, И.М. Орлов, а,
А.В. Чирков, М.А. Шапиро

1. В ряде экспериментов по нагреву плазмы используются гиротроны [1, 2], генерирующие в длинноволновой части миллиметрового диапазона излучение в виде аксиально-симметричных мод волновода круглого сечения. При транспортировке излучения гиротрона в плазму часто необходимо трансформировать генерируемую высшую волноводную моду в линейно-поляризованный гауссов пучок. В работе [3] исследован трехсекционный трансформатор, состоящий из отрезков плавногофрированных волноводов и последовательно преобразующий рабочую моду гиротрона в моду H_{01} , затем моду H_{01} в E_{11} и моду E_{11} в гауссов пучок. Этот трансформатор обладает высоким коэффициентом преобразования исходной моды в гауссов пучок, однако является узкополосным и в условиях сверхразмерного сечения тракта имеет большую длину. Компактным и в то же время широкополосным является квазиоптический трансформатор [4], включающий параболическое зеркало и волноводный излучатель в виде отрезка волновода со ступенчато-срезанным концом. Однако в квазиоптическом трансформаторе велики дифракционные потери. В данной работе исследован усовершенствованный квазиоптический трансформатор, совмещающий высокую эффективность с широкополосностью.

Предлагаемый трансформатор аксиально-симметричной моды в гауссов пучок включает две последовательно установленные секции. Первая секция, представляющая собой волноводный переход с круглого сечения на эллиптическое, формирует гауссово распределение поля по одной из декартовых координат; вторая секция, являющаяся плавно-изогнутым эллиптическим волноводом, создает гауссову структуру по другой координате.

2. Предполагается, что переход к эллиптическому сечению производится адиабатически, аксиально-симметричная H -мода круглого волновода трансформируется в соответствующую моду эллиптического волновода. Структуры исходной и сформированной мод (рис. 1) топологически различны: при переходе к эллиптическому сечению происходит перезамыкание силовых линий поля. При этом,

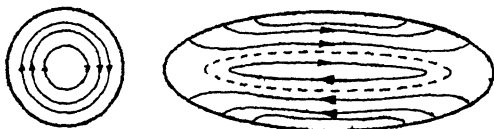


Рис. 1. Электрическое поле во входном и выходном сечениях волноводного перехода.

в условиях сильной деформации сечения, мода содержит в основном одну декартову компоненту поля.¹

В рассматриваемом случае исходной является мода H_{01} . После перехода к эллиптическому сечению с полуосами a_x и a_y H_{01} -сфера трансформируется в волну со следующим распределением х-компоненты поля

$$E_x \approx \sin(\pi y/a_y) \exp\left(-\frac{x^2}{2W_x^2(y)}\right). \quad (1)$$

Поле имеет гауссово распределение, масштаб которого по x выражается зависимостью

$$W_x(y) = W_{x0} \left(1 + \left(\frac{a_y y}{\pi W_{x0}^2}\right)^2\right)^{1/2},$$

где размер перетяжки W_{x0} определяется соотношением

$$W_{x0} \approx \pi^{-1/2} (a_x^2/a_y^2 - 1)^{1/4} a_y.$$

Формирование гауссова распределения поля по одной из координат свидетельствует о том, что часть стенки волновода (примыкающая к большой оси эллипса) засвечивается модой менее интенсивно, чем в волноводе круглого сечения. Таким образом, переход к эллиптическому сечению позволяет оторвать поле от стенки волновода и тем самым уменьшить дифракцию на кромках излучателя в квазиоптическом трансформаторе [6].

3. Вторая секция трансформатора – изогнутый эллиптический волновод – является усовершенствованным излучателем. Форма изгиба в плоскости (y , x) подбирается таким образом, чтобы трансформировать моду эллиптического волновода в пучок с гауссовой структурой по обеим декартовым координатам.

¹ При условии $kF \gg 1$ (k – волновое число, F – фокусное расстояние эллипса) мода эллиптического волновода переходит в моду открытого двухзеркального волновода [5].

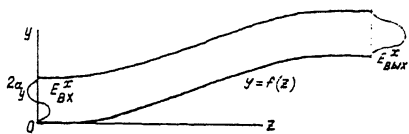


Рис. 2. Профиль изгиба волновода и поперечное распределение амплитуды поля во входном и выходном сечениях.

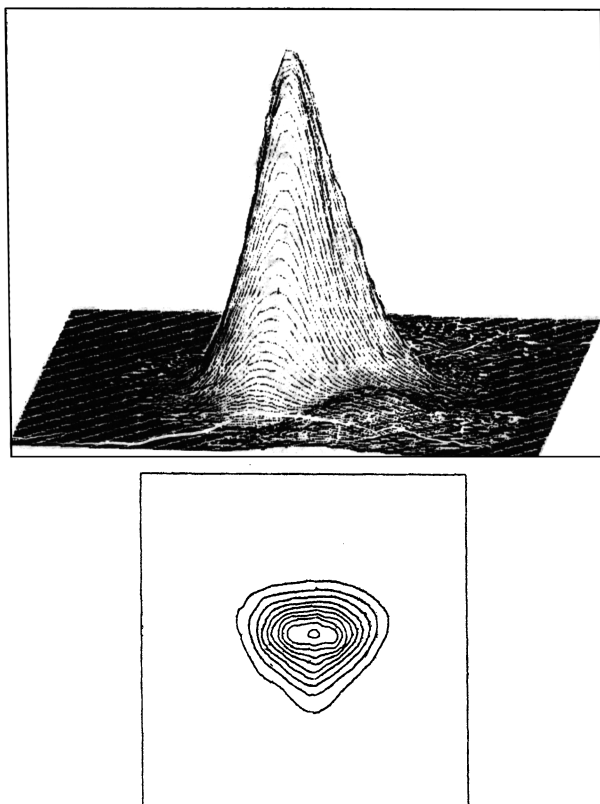


Рис. 3. Распределение амплитуды и линии равных интенсивностей в основной поляризации поля.

Принимая во внимание, что структура поля по y (1) близка к структуре моды планарного волновода, и выполняется условие параксиальности $ka_y \gg 1$, оптимизацию изгиба $y = f(z)$ (рис. 2) можно проводить, решая в плоскости (y, z) параболическое уравнение для поля E_x с нулевыми условиями на границах планарного волновода [7]. В соответствии с расчетами, посредством изгиба

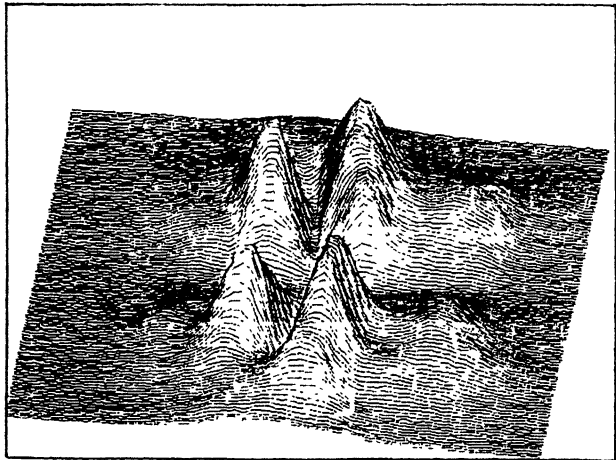


Рис. 4. Распределение амплитуды и линии равных интенсивностей в кросс-поляризованной компоненте поля.

$$f(z) = a_y \left[3 \left(\frac{z}{ka_y^2} \right)^2 - \left(\frac{z}{ka_y^2} \right)^4 \right]$$

поле с исходным синусоидальным распределением по y (1) эффективно трансформируется в гауссову структуру по y . В итоге на выходе трансформатора распределение амплитуды имеет вид

$$E_x \approx \exp \left(-\frac{x^2}{2W_x^2} - \frac{y^2}{2W_y^2} \right),$$

где масштаб поля по y — $W_y = 0.3a_y$. Длина изогнутого волновода составляет $1.225ka_y^2$.

4. Экспериментальный образец трансформатора был изготовлен для волноводного тракта диаметром 40 мм с рабочей длиной волны 8 мм. Волноводный переход на эллиптическое сечение с $a_x = 50$ мм и $a_y = 20$ мм имел длину 400 мм, т.е. угол раскрыва в плоскости $y = 0$ составил $\gamma = 0.075$.

При проведении измерений волна H_{01} возбуждалась в волноводе с помощью преобразователя Марье [8]. Эффективность трансформации моды H_{01} , заданной на сечении диаметром 40 мм, в гауссов пучок, оценивалась путем измерения структуры поля в основной (E_x) и кросс-поляризованной (E_y) компонентах поля на выходе трансформатора.

Результаты измерений приведены на рис. 3 и 4, где помимо рельефного изображения структуры поля имеются линии равной интенсивности на сечении выходного пучка. Значения интенсивности на каждой последующей линии отличается от предыдущей на 10 %. Отношение максимальных интенсивностей в кросс-поляризованной (рис. 4) и в основной компонентах составляет 0.08. При этом интегральная мощность в кросс-поляризованной компоненте - 17 %.

Потери Δ на трансформацию в паразитные кросс-поляризованные моды оцениваются по прогибу фазового фронта δ волн на апертуре рупора с эллиптическим сечением: $\Delta \approx (k\delta)^2$. Прогиб фронта составляет $\delta = \gamma k W_x^2 (a_y) / (2a_x)$; таким образом, оценка дает $\Delta \approx 0.1$.

5. Продемонстрирована возможность трансформации аксиально-симметричной магнитной волны, распространяющейся в волноводе сверхразмерного круглого сечения, в линейно-поляризованный гауссов пучок с использованием перехода к волноводу эллиптического сечения и последующего изгиба эллиптического волновода. Двухсекционный трансформатор рассчитан на основе квазиоптического приближения. Установлено, что в условиях сверхразмерности исходного тракта требуется оптимизация адиабитического перехода к эллиптическому сечению. Задача оптимизации может быть решена развитием метода обобщенного линзового преобразования [9] применительно к нерегулярным волноводам эллиптического сечения.

Список литературы

- [1] F e l c h K., B i e r R., F o x L. et al. // Int. Journ. of Electronics. 1984. V. 57. N 6. P. 815.
- [2] A n t a k o v I.I., A k s j o n o v a L.A., Z a s y p k i n E.V. et al. // Strong Microwaves in Plasmas. - Int. Workshop. Suzdal, 1990. Paper S-10.
- [3] T h u m m M. // Int. Journ. of Electronics. 1986. V. 61. N 6. P. 1135.

- [4] Власов С.Н., Орлова И.М. // Радиофизика. 1974. Т. 17. № 1. С. 148.
- [5] Вайнштейн Л.А. Открытые резонаторы и открытые волноводы. М.: Сов. радио, 1966.
- [6] Mourier G. / US Patent 4,636,689. Jan. 13, 1987.
- [7] Власов С.Н., Шапиро М.А. // Радиотехника и электроника. 1990. Т. 35. № 1. С. 39.
- [8] Ваганов Р.Б., Матвеев Р.Ф., Мериакри и В.В. Многоволновые волноводы со случайными нерегулярностями. М.: Сов. радио, 1972.
- [9] Власов С.Н., Шапиро М.А. Гиротроны / Под ред. В.А. Флягина. Сб. научн. трудов. Горький: ИПФ АН СССР, 1989. С. 133.

Институт
прикладной физики РАН,
Нижний Новгород

Поступило в Редакцию
23 апреля 1992 г.